На правах рукописи

Magh

## Шайхутдинова Гульнара Рафитовна

# СВЯЗЬ СТРУКТУРЫ НЕКОТОРЫХ ШЕСТИ-И СЕМИЧЛЕННЫХ ЦИКЛИЧЕСКИХ АЦЕТАЛЕЙ С РЕАКЦИОННОЙ СПОСОБНОСТЬЮ

02.00.03 - органическая химия

Автореферат диссертации на соискание ученой степени кандидата химических наук Работа выполнена в научно-исследовательском химическом институте им. А. М. Бутлерова Казанского государственного университета.

Научные руководители:

АЗЭТОИЛЭИЗ КАНРУАН УФУ

Официальные оппоненты:

Ведущая организация:

доктор химических наук, заведующий отделом Климовицкий Е. Н. кандидат химических наук, старший научный сотрудник Штырлин Ю. Г.

доктор химических наук, профессор Левин Я. А. доктор химических наук, профессор Галкин В. И. Казанский государственный технологический университет

Защита состоится « 14 » декабря 2000 г. в 4. на заседании специализированного диссертационного Совета К 053.29.02 по химическим наукам Казанского государственного университета по адресу: ул. Кремлевская, 18, КГУ, Бутлеровская аудитория.

С диссертацией можно ознакомиться в научной библиотеке им. Н.И. Лобачевского Казанского государственного университета.

Отзывы на автореферат просим направлять по адресу: 420008, г. Казань, ул. Кремлевская, 18, КГУ, Научная часть.

Автореферат разослан «13 » ноября 2000 г.

Ученый секретарь Совета, кандидат химических наук Hogorof Федотова Н. Р.

# **0719527**—/ <sup>3</sup> ОБЩАЯ ХАРАКТЕРИСТИКА РАБОТЫ

Актуальность темы. Исследование взаимосвязи реакционной способности соединений с их структурой является важнейшей задачей химии. К настоящему времени в решении этой проблемы достигнут значительный прогресс и сформированы фундаментальные представления о роли электронных, стерических и сольватационных факторов в большом круге реакций. Удельный вес исследований по установлению взаимосвязи пространственной структуры соединений с реакционной способностью значительно меньше и ограничивается, в основном, сведениями по кинетике реакций простейшего типа с участием равновесных систем и диастереомерных соединений. Кинетика наиболее распространенных в природе реакций перекрестного типа является своеобразным «белым пятном» современной химии, поскольку в этом разделе известен лишь формальный математический аппарат, а строгое экспериментальное решение отсутствует. По этой причине поиск подходов к установлению взаимосвязи пространственной структуры равновесных систем с их реакционной способностью и проверка их работоспособности на широком круге реакций является актуальной и перспективной задачей химии.

<u>Целью настоящей работы</u> является установление связи реакционной способности некоторых шести- и семичленных циклических ацеталей в процессах сложного типа с пространственной структурой субстратов.

Научная новизна. Впервые установлен связевой механизм трансляции электронных эффектов заместителей на двойную связь в серии конформационно неоднородных 2-алкил(фенил)-1,3-диоксациклогепт-5-енов. Эксплуатация принципа аддитивности конформационных, электронных, стерических и сольватационных эффектов в серии конформационно неоднородных соединений впервые позволила установить взаимосвязь пространственного строения 2-R-1,3-диоксациклогепт-5-енов с их реакционной способностью. Установлены место и роль конформеров кресло и твист

этих ацеталей в реакциях Карбони-Линдсея и электрофильного присоединения. Продемонстрированы индивидуальные особенности реагирования кресловидных структур 2-алкил-1,3-диоксанов и 1,3-диоксациклогепт-5-енов в реакции гидролиза.

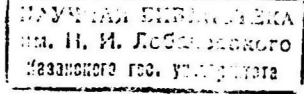
<u>Практическая значимость.</u> Установление количественных закономерностей течения реакций с участием конформеров позволяет приблизиться к решению вопросов по селективному синтезу практически полезных соединений с участием конформационно неоднородных субстратов. Полученные в настоящей работе данные по кинетике и термодинамике реакций могут быть использованы в справочной литературе.

<u>Объем и структура работы.</u> Диссертация изложена на 133 страницах, содержит 29 таблиц, 16 рисунков и состоит из введения, трех глав, выводов, списка цитируемой литературы из 160 наименований.

В обзоре литературы, приведенном в первой главе, кратко изложено состояние вопроса формальной кинетики реакций равновесных систем простейшего и сложного типов. Представлены основные положения экспериментального подхода для определения парциальных констант скорости реакций конформеров в процессах перекрестного типа.

Вторая глава представляет собой обсуждение полученных результатов. Представлены данные по влиянию растворителей на конформационное равновесие кресло-твист 2-R-1,3-диоксациклогепт-5-енов и заместителей у ацетального атома углерода на величины потенциалов ионизации атомов кислорода и двойной связи. Методом Кагайя оценены параметры электронодонорной способности конформеров кресло и твист. Исследована кинетика реакций электрофильного бромирования, циклоприсоединения Карбони-Линдсея и гидролиза серии модельных конформационно неоднородных субстратов. Проанализирована роль среды в формировании диастереоселективности реакции диенового синтеза.

Третья глава содержит описание экспериментальной части работы.



Публикации и апробация работы. По материалам диссертации опубликованы 3 статьи, тезисы четырех докладов, 2 статьи находятся в печати. Основные результаты диссертации были доложены и обсуждены: на итоговой конференции Казанского государственного университета (Казань, 1997 г.), VII международной конференции «Проблемы сольватации и комплексообразования в растворах» (Иваново, 1998 г.), поволжской региональной конференции «Физико-химические методы в координационной и аналитической химии» (Казань, 1999 г.), І-ой Всероссийской конференции по химии гетероциклов памяти А.Н.Коста (Суздаль, 2000 г.).

### ОСНОВНОЕ СОДЕРЖАНИЕ РАБОТЫ

# 1. О механизме передачи индуктивных эффектов заместителей в серии конформационно неоднородных семичленных ненасыщенных апеталей

Методом фотоэлектронной спектроскопии определены величины первых трех потенциалов ионизации серии ацеталей (I), реализующихся в виде форм кресло и твист (табл. 1).

$$R^{1} = R^{2} = H$$
 (a);  $R^{1} = H$ ,  $R^{2} = CH_{3}$  (b);  $R^{1} = H$ ,  $R^{2} = C_{2}H_{5}$  (b);  $R^{1} = H$ ,  $R^{2} = (CH_{3})_{2}CH$  (r);  $R^{1} = H$ ,  $R^{2} = (CH_{3})_{3}C$  ( $\pi$ );  $R^{1} = H$ ,  $R^{2} = C_{6}H_{5}$  (e);  $R^{1}$ ,  $R^{2} = (CH_{2})_{5}$  ( $\pi$ )

Величины потенциалов ионизации двойной связи ( $\Pi U_1$ , 3B), двух неподеленных пар атомов кислорода ( $\Pi U_2$ ,  $\Pi U_3$ , 3B) соединений (I) и суммы индуктивных констант заместителей Тафта у ацетального атома углерода.

$R^1, R^2$	ПИ1	ПИ2	ПИ3	Σσ
H, H	9.54	9.93	10.84	0.98
H, Me	9.41	9.71	10.61	0.49
H, Et	9.26	9.48	10.51	0.39
H, i-Pr	9.25	9.43	10.43	0.30
H, t-Bu	9.23	9.45	10.30	0.19
(CH <sub>2</sub> ) <sub>5</sub>	9.05	9.20	10.25	-0.18
H, Ph	9.61	9.76	10.57	1.09

С ростом положительного индуктивного эффекта заместителей у ацетального атома углерода имеет место отчетливое увеличение донорных свойств двойной связи и атомов кислорода. Регрессионный анализ в рамках однопараметрового уравнения Тафта показал наличие корреляции величин ПИ<sub>1</sub> с суммой индуктивных констант заместителей.

$$\Pi \mathbf{M}_1 = (9.13 \pm 0.02) + (0.43 \pm 0.01) \Sigma \sigma^*; r = 0.99, S = 0.03, n = 7$$
 (1)

Для величин ПИ<sub>2</sub>, ПИ<sub>3</sub> всего ряда соединений подобная корреляция отсутствует. При исключении из серии фенилпроизводного (Ie) обнаруживаются корреляции удовлетворительного качества.

$$\Pi M_2 = (9.30 \pm 0.04) + (0.64 \pm 0.03) \Sigma \sigma^*; r = 0.97, S = 0.06, n = 6$$
 (2)

$$\Pi M_3 = (10.29 \pm 0.03) + (0.55 \pm 0.03) \Sigma \sigma^*; r = 0.97, S = 0.06, n = 6$$
 (3)

Наличие первой корреляции в ряду соединений свидетельствует о том, что несмотря на различия в конформационном составе, все они объединены в единую серию. Другими словами, трансляция через гетероциклический остов электронных эффектов заместителей на двойную связь осуществляется по единому механизму посредством поляризации связей и не зависит от расстояния до реакционного центра в трехмерном пространстве. Что же касается трансляции электронных эффектов на атомы кислорода, то выше-

сказанное утверждение справедливо только в отношении алкильных заместителей, а при переходе к арильному происходит, вероятно, подключение и полевого механизма посредством взаимодействия через пространство л-электронов ароматического кольца и неподеленных пар атомов кислорода.

## 2. Использование подхода Кагайя для оценки электронодонорной способности конформеров кресло и твист

После получения данных о потенциалах ионизации донорных центров ацеталей в газовой фазе была исследована основность атомов кислорода в альтернативных пространственных структурах в конденсированной фазе. Для решения этой задачи в ряду конформационно неоднородных соединений впервые использован метод Кагайя, основанный на применении ИК-спектроскопии. В качестве стандартного протонодонора использован монодейтерометанол, а в качестве среды - конформационно неоднородные субстраты.

$$B_{Me0D} (cm^{-1}) = \Delta v_{0D} = v_{Me0D}^{0} - v_{Me0D...B},$$
 (4)

где  $v^{o}_{Me0D}$  и  $v_{Me0D\_B}$  - волновые числа валентных колебаний О-D в газовой фазе ( $v^{o}_{Me0D}$  = 2720 см<sup>-1</sup>) и в изучаемом растворителе - акцепторе водородной связи, В — величина относительной основности.

Таблица 2 Волновые числа ( $\nu$ , см $^{-1}$ ) колебаний связи О-D в комплексах MeOD с 2-R $^1$ ,R $^2$ -1,3-диоксациклогепт-5-енами (II) и величины относительной основности (B).

$R^1, R^2$	V ± 2	Bª
H, H	2598.0	122.0
H, Me	2598.0	122.0
H, Et	2598.0	122.0
H, i-Pr	2598.0	122.0
H, t-Bu	. 2586.0	134.0
H, Ph	2580.0	140.0
(CH <sub>2</sub> ) <sub>5</sub>	2588.0	132.0

Примечание. а) Величины В для 1,3-диоксолана, 1,3-диоксана, 1,3-диоксепана составляют 110, 116, 130 соответственно.

В ряду H, Me, Et, i-Pr, в котором величины вторых и третьих вертикальных потенциалов ионизации уменьшаются весьма значительно (~ 0.5 эВ), электронодонорные свойства соединений в пределах экспериментальной точности одинаковы. В то же время при переходе к спиро- и далее к трет.-бутилзамещенному соединениям наблюдается заметное усиление водородной связи. Более того, неожиданная картина наблюдается и для бензилиденового производного — его наиболее высокая в ряду основность не согласуется с электроноакцепторным характером ароматического заместителя.

Очевидно, что такая тенденция в ряду семичленных ацеталей не может быть интерпретирована только в рамках орбитальных характеристик атомов кислорода и требуется подключение дополнительного терма, а именно, стерического эффекта алкильных заместителей. Постоянство величин донорной способности в ряду Н, Ме, Еt, i-Pr можно объяснить на основе дуалистического характера алкильных заместителей: повышение энергии молекулярной орбитали в ряду с ростом положительного индуктивного эффекта заместителей компенсируется неблагоприятным стерическим экранированием реакционного центра в том же направлении. В случае же фенилзамещенного ацеталя и кеталя увеличение донорности обусловлено доминирующим вкладом электронных эффектов заместителей, причем для первого, вероятно, вследствие дополнительного взаимодействия через пространство атомов кислорода протонодонора с л-электронами ароматического кольца.

В приложении к трет.-бутильному производному, для которого стерический терм непропорционально велик, очевидно, требуется учет конформационного терма. С целью определения заселенностей форм К и Т в условиях эксперимента и идентификации наблюдаемых полос поглощения связи О-D в комплексах (II) нами изучено влияние широкого круга растворителей на константу конформационного равновесия. С использованием

ранее предложенной аддитивной схемы анализа обменных спектров ЯМР  $^{13}$ С ( $\alpha_2 = [\Delta \delta_4 - \Delta \delta_4 (\text{твист})]/[\Delta \delta_4 (\text{кресло}) - \Delta \delta_4 (\text{твист})]$ , где  $\alpha_2$  – доля формы кресло) определены константы конформационного равновесия в апротонных и протонодонорных растворителях (табл. 3).

Таблица 3 Константы конформационного равновесия твист— кресло ( $K_P$ ) 2-R-1,3-диоксациклогепт-5-енов (I) в различных растворителях. T = 298 K

	R				
Растворитель	Н	C <sub>6</sub> H <sub>5</sub>	CH <sub>3</sub>	т-С4Н9	
Ацетон	0.15	0.12	0.20	4.00	
Диоксан	0.14	0.08	0.20	4.00	
Бензол	-	-	0.18	3.76	
Толуол	-	0.04	0.15	4.00	
CCI <sub>4</sub>	0.19	-	0.21	4.88	
CHCl <sub>3</sub>	0.12	0.09	0.22	4.55	
ДМСО	0.19	-	0.22	4.26	
CD <sub>3</sub> OD	0.15	0.10	0.25	4.55	

Растворители оказывают слабое влияние на константу конформационного равновесия ацеталей. Следовательно, при использовании ацеталей в качестве растворителей наблюдаемые полосы в рамках подхода Кагайя соответствуют комплексам с доминирующей структурой.

Таким образом, можно сделать вывод, что конформация кресло является более сильным основанием по сравнению с формой твист.

## 3. Реакция электрофильного присоединения к серии модельных ацеталей

После получения информации о свойствах двойной связи и атомов кислорода ацеталей исследована кинетика и стереохимия реакций, в которых они являются реакционными центрами.

Методами ЯМР <sup>1</sup>Н и <sup>13</sup>С спектроскопии установлено, что бромирование соединений ряда (I) проходит стереоспецифично с образованием транс-дибромидов. Реакция имеет общий второй порядок, первый частный

по каждому из реагентов. Кинетическая схема реакции бромирования ацеталей (I) в условиях псевдопервого порядка представлена ниже.

$$R^{1}$$
 $R^{2}$ 
 $R^{2}$ 
 $R^{32}$ 
 $R^{33}$ 
 $R^{3}$ 
 $R^{3}$ 
 $R^{2}$ 
 $R^{2}$ 

$$R^1 = R^2 = H$$
 (a);  $R^1 = H$ ,  $R^2 = CH_3$  (6);  $R^1 = H$ ,  $R^2 = C_2H_5$  (B);  $R^1 = H$ ,  $R^2 = (CH_3)_2CH$  (r);  $R^1 = H$ ,  $R^2 = (CH_3)_3C$  ( $\pi$ );  $R^1 = H$ ,  $R^2 = C_6H_5$ (e)

Константы скорости реакции бромирования в двух растворителях представлены в табл. 4. Результаты обработаны методом итераций по предложенному ранее уравнению (5):

$$\frac{\lg k_{w-1}^{R_i} - \rho^* \sigma^*}{10^{\lg k_{w-1}^{R_j}} - \rho^* \sigma^*} = (k_2 - k_3) \alpha_2 + k_3 \qquad (5)$$

 $k_2$ ,  $k_3$  – парциальные константы скорости реагирования форм кресло и твист.

Из полученных данных следует, что значения парциальных констант скорости реакций конформеров и параметров чувствительности к индуктивным эффектам заместителей весьма существенно зависят от растворителя. А именно, в диоксане влияние заместителей у ацетального атома углерода сказывается только на нуклеофильности двойной связи и не приводит к дифференциации реакционной способности структур с различной пространственной архитектурой.

Таблица 4

Наблюдаемые константы скорости реакции бромирования 2-R-1,3-диоксациклогепт-5-енов при Т 298 К [ $k_{W-H_1}$  л/моль с], мольные доли формы кресло ( $\alpha_2$ ), индуктивные константы заместителей ( $\sigma$ ) и вертикальные потенциалы ионизации двойной связи ( $\Pi U_1$ ).

R	k <sub>w-H</sub> 10 <sup>3</sup>		$\alpha_2$	σ	ПИι	
	Хлороформ	Диоксан	Хлороформ	Диоксан		
Н	7.9	8.2	0.11	0.12	0.49	9.54
Me	9.9	25.2	0.17	0.18	0	9.41
Et	10.0	32.3	0.17	0.18	-0.10	9.26
t-Bu	39.8	54.3	0.82	0.80	-0.30	9.23
Ph	6.5	-	0.09	0.07	0.60	9.61

Растворитель	$k_2 \cdot 10^3$ , л/моль с	k <sub>3</sub> · 10 <sup>3</sup> , л/моль · с	$\rho^{\star}$
Диоксан	26.0	26.0	-1.03
Хлороформ	50.6	1.7	0.07

В протонодонорном хлороформе наблюдается обратная картина: различия в реакционной способности форм кресло и твист достигают 30 раз, а величина параметра чувствительности к индуктивным эффектам заместителей близка к нулю.

## 4. Кинетика и термодинамика реакций гидролиза модельных 2замещенных 1,3-диоксанов и их семичленных ненасыщенных аналогов: роль пространственной структуры

Гидролиз органических соединений относится к тем базовым процессам, на основании изучения которых сформированы современные представления о механизмах гетеролитических реакций сложного типа.

В отличие от рассмотренной выше реакции в процессе гидролиза реакционными центрами являются ацетальные атомы кислорода. В табл. 5 приведены определенные методом спектрофотометрии эффективные константы скорости прямой и обратной реакций гидролиза конформационно неоднородных семичленных ацеталей и модельных к ним кресловидных 2-замещенных-1,3-диоксанов.

Таблица 5

Эффективные константы скорости прямой ( $k_1$ , л/моль c), обратной ( $k_1$ , л/моль c) реакций гидролиза 2-R-1,3-диоксациклогепт-5-енов, 2-R-1,3-диоксанов и соответствующие константы равновесия ( $K_p$ ) в бинарной смеси диоксан-вода (9:1). T = 298 K,  $C_{HCI} = 0.1 \text{ моль/л}$ .

R	2-R-1,3-диоксациклогепт-5-ены		2-R-1,3-диоксаны			Es	
	k <sub>1</sub> · 10 <sup>5</sup>	k.1 105	K <sub>P</sub>	k <sub>1</sub> · 10 <sup>5</sup>	k.1 · 105	K <sub>P</sub>	
Me	1.03	67.2	0.015	0.54	447	0.0012	0.00
Et	0.94	45.2	0.020	0.56	299	0.0019	-0.27
Pr	0.67	39.6	0.017	0.41	227	0.0018	-0.56
i-Pr	0.40	18.5	0.022	0.23	118	0.0019	-0.85
t-Bu	1.13	4.3	0.26	0.10	26	0.0038	-2.14

Шестичленные ацетали являются более устойчивыми по сравнению с семичленными примерно на порядок. Обращает на себя внимание характер зависимости скорости реакции от природы заместителя у атома С<sup>2</sup> ацеталей. Для 1,3-диоксанов с ростом объема заместителей имеет место монотонное уменьшение величин констант скорости как прямой, так и обратной реакций, а при переходе к 2-R-1,3-диоксациклогепт-5-енам это прослеживается лишь в отношении величин констант скорости обратной реакции. В прямой реакции гидролиза серии (I) с ростом объема заместителя скорость процесса в изоконформационном ряду сначала понижается, а при смене конформационного состояния субстрата (при введении более объемной трет.-бутильной группы) гидролиз ускоряется.

### 2-R-1,3-диоксациклогепт-5-ены:

$$lgk_1 = f(E_s^0)$$
 r < 0.8, n = 5

$$lgk_1 = (0.56 \pm 0.02) \cdot E_S^0 + (-3.17 \pm 0.04), r = 0.992, S = 0.06, n = 5$$

#### 2-R-1,3-диоксаны:

$$lgk_1 = (0.37 \pm 0.02) \cdot E_S^0 + (-5.23 \pm 0.05), r = 0.98, S = 0.07, n = 5$$

$$lgk_1 = (0.58\pm0.01) \cdot E_S^0 + (-2.36\pm0.03), r = 0.995, S = 0.05, n = 5$$

Полученные результаты обработаны в рамках уравнения (6):

$$\frac{\lg k_{w-H}^{R_i} - \rho_S E_S^0}{10^{\lg k_{w-H}^{R_j} - \rho_S E_S^0}} = (k_2 - k_3)\alpha_2 + k_3$$

$$10^{\lg k_{w-H}^{R_j} - \rho_S E_S^0} = (k_2 - k_3)\alpha_2 + k_3$$
(6)

Оказалось, что для описания общей скорости реакции гидролиза конформационно негомогенных 2-R-1,3-диоксациклогепт-5-енов достаточно только привлечения константы скорости кресловидной структуры:

$$k_2 = 6.05 \cdot 10^{-5} \text{ п/моль } c; \quad \rho_s = 0.37$$

Отметим, что с учетом довольно больших величин отклонений (табл. 6) в данном случае мы склонны считать величину  $k_2$  оценочной.

Таблица 6 Константы скорости реакции гидролиза 2-R-1,3-диоксациклогепт-5-енов, вычисленные методом итераций по уравнению (6) [ $k_1$  выч.,  $\pi$ /моль с] и величины относительных отклонений от экспериментальных параметров ( $\Delta$ , %).

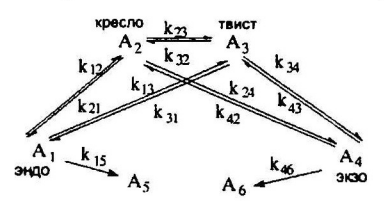
R	k <sub>1</sub> 10 <sup>5</sup> выч.	Δ, %		
Me	1.02	1.0		
Et	0.81	13.5		
Pr	0.63	5.8		
i-Pr	0.50	-25.2		
t-Bu	0.79	29.7		

Тем не менее, полученные результаты дают весомые основания для отнесения рассмотренной реакции к тому крайнему случаю, когда реакционная способность одной из форм много больше другой и реакция проходит практически нацело через одну конформацию.

## 5. Роль конформеров кресло и твист в процессах концертного типа: стереохимические аспекты механизма реакции Карбони – Линдсея

В реакции концертного типа Карбони-Линдсея, наряду с кинетическим изучением, представилась возможность проследить и роль пространственной структуры субстрата в формировании диастереоселективности процесса.

Так как конформационно неоднородные 2-замещенные-1,3-диоксациклогепт-5-ены относятся к олефинам с относительно невысокой донорной способностью необходимо было ответить на вопрос: является ли первая стадия образования собственно аддукта диенового синтеза обратимой? По данным метода АМ1 энтальпия реакции тетразина с 2-замещенными диоксациклогепт-5-енами с образованием эндо- и экзо-аддуктов не превышает -3 ккал/моль, что с учетом энтропии реакции указывает на существенную обратимость первой стадии. Следовательно, общая схема реакции тетразина с конформерами кресло и твист выглядит следующим образом:



Представленная схема иллюстрирует особо сложный случай реакций равновесных систем перекрестного типа, когда селективность процесса определяется, с одной стороны, четырьмя парциальными константами скорости прямой реакции при атаке реагентом диастереотопных сторон каждого конформера, соответствующими константами скорости ретродиенового синтеза и двумя последующими константами скорости стадии разрыва связей С-N с образованием экзо- и эндо-аддуктов 1,4-дигидропиридазинового ряда, с другой.

$$X = CO_{2}Me$$

$$X =$$

$$R^{1}$$
 = H,  $R^{2}$  = H (a);  $R^{1}$  = H,  $R^{2}$  = CH<sub>3</sub> (6);  $R^{1}$  = H,  $R^{2}$  = C<sub>2</sub>H<sub>5</sub> (B);  $R^{1}$  = H,  $R^{2}$  = (CH<sub>3</sub>)<sub>2</sub>CH (r);  $R^{1}$  = H,  $R^{2}$  = (CH<sub>3</sub>)<sub>3</sub>C ( $\mu$ );  $R^{1}$  = H,  $R^{2}$  = C<sub>6</sub>H<sub>5</sub> (e);  $R^{1}$  =  $R^{2}$  = (CH<sub>2</sub>)<sub>5</sub> ( $\mu$ )

Анализ реакционных смесей, проведенный методами ЯМР <sup>1</sup>Н и <sup>13</sup>С спектроскопии, показал, что образуются два диастереомерных продукта. Наиболее информативным для строгого количественного определения соотношения изомеров оказался метод ЯМР <sup>13</sup>С (рис. 1). Для приписания углеродных атомов использован метод офф-резонанса, а отнесение к диастереомерам сделано в соответствии с относительными интенсивностями сигналов. Спектро-структурная корреляция проведена на примере метилзамещенного изомера, выделенного в конфигурационно чистом виде.

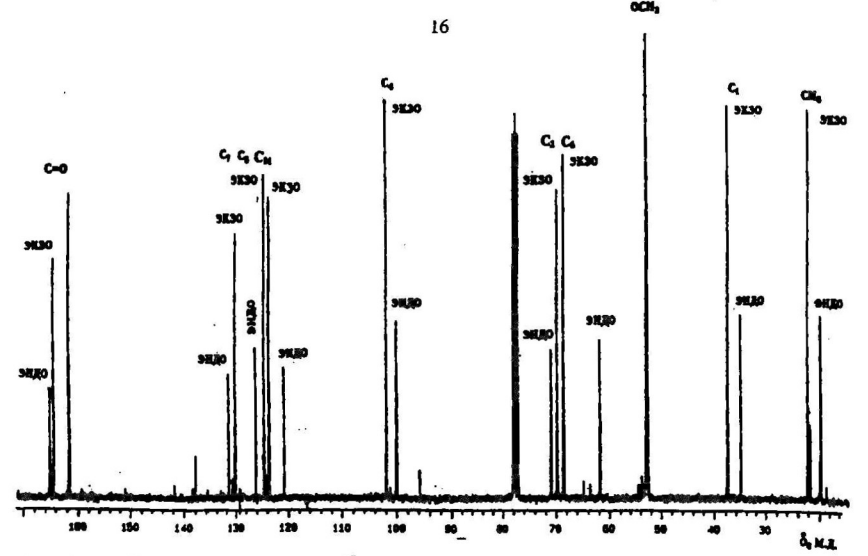


Рис.1. Спектр ЯМР  $^{13}$ С реакционной смеси 4-метил-8,11-диметоксикарбонил-3,5-диокса-9,10-диазабицикло[5.4.0]додека-7,10-диена в хлороформе-D.

Методом рентгеноструктурного анализа установлена экзо- конфигурация

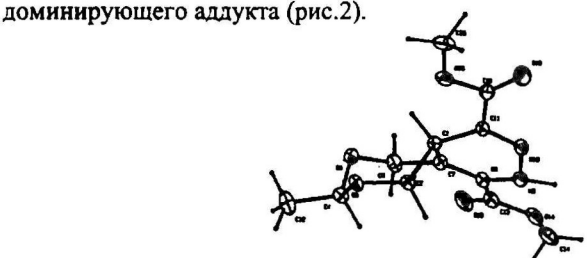


Рис.2. Геометрия молекулы 4-метил-8,11-диметоксикарбонил-3,5-диокса-9,10-диазабицикло[5.4.0]додека-7,10-диена.

В табл. 7 приведены данные по селективности реакции тетразина с ацеталями в различных растворителях и при разных температурах. Полученные соотношения соответствуют кинетическому контролю реакции, поскольку эпимеризация смеси изомеров приводит к существенному изменению соотношения и, к примеру, для пары V6 - IV6 достигает 5:1.

Таблица 7 Соотношение экзо/эндо аддуктов реакции 3,6-дикарбометокситетразина с ацеталями ряда (I) в различных растворителях и при разных температурах.

Раство-	t,	Ph	Me	Et	i-Pr	t-Bu
ритель	°C					
Диоксан	25	1.70±0.03	2.28±0.02	2.50±0.04	3.74±0.25	7.27±0.04
Диоксан	100	-	1.96±0.02	-		3.41±0.09
Ацетон	25	1.12±0.01	1.16±0.02	1.50±0.03	1.29±0.03	1.18±0.04
Толуол	25	1.46±0.02	2.18±0.03	2.60±0.03	2.98±0.01	3.83±0.04
Толуол	80	•	2.19±0.03	1.99±0.02	2.19±0.04	3.36±0.02
Толуол	120	1.37±0.03	1.86±0.02	•	-	2.34±0.06
Бензол	25	1.91±0.02	1.87±0.03	1.86±0.01	2.51±0.06	-
Хлоро- форм	25	1.83±0.02	2.01±0.05	-	2.03±0.14	5.20±0.10
Диоксан- ацетон (об.%)						
20:80	25	-	1.28±0.02	-	-	1.46±0.02
40:60	25	•	1.29±0.03	•	-	4.08±0.10
50:50	25	-	1.44±0.10	-	•	-
60:40	25	-	1.33±0.03	-	-	3.69±0.08
80:20	25	-	1.59±0.02	-	-	4.32±0.06

Селективность реакции меняется в широком интервале - от весьма невысокой в ацетоне (6-20% для всего ряда) до 76% для трет-бутилзамещенного производного в диоксане. С ростом объема заместителей у ацетального атома углерода наблюдается закономерное увеличение экзо-селективности реакции в диоксане и толуоле при комнатной температуре, в то время как в толуоле при 80 °C в ряду заместителей наблюдается отчетливая зависимость от конформационного состояния субстратов. Аналогичная картина имеет место в протонодонорном растворителе хлороформе — для изоконформационных соединений с метильным и изопропильным заместителями селективность практически одинакова, а при переходе к трет.-бутилпроизводному значительно возрастает доля экзо-

изомера. В наиболее полярном из рассмотренных растворителей ацетоне вне зависимости от объема заместителя и конформационного состояния субстратов селективность реакции остается весьма невысокой.

Такая сложная картина влияния температуры и природы растворителя на селективность реакции явно указывает на то, что в этой реакции с предравновесной стадией в зависимости от возмущения происходит изменение соотношения констант скорости прямой и обратной реакций образования собственно аддукта диенового синтеза и последующей стадии элиминирования молекулы азота.

В ацетоне, хлороформе и толуоле при 80 <sup>0</sup>С лимитирующей стадией является стадия образования аддукта диенового синтеза, поскольку именно она определяется стереохимическими особенностями конформеров. В других случаях, очевидно, диастереоселективность реакции, наряду с конформационным термом, формируется и остальными стадиями, скорость которых не может не зависеть от объема заместителя у ацетального атома углерода.

Не вдаваясь в детальное обсуждение полученных результатов на разных уровнях сопоставления, выделим главное: наибольшие различия в реакционной способности форм кресло и твист наблюдаются в случаях, когда имеют место специфические взаимодействия субстрата со средой. По данным расчетного метода АМ1 устойчивость Н-комплексов формы кресло с молекулами хлороформа, метанола и иона гидроксония выше на 1.2, 0.3 и 14.5 ккал/моль соответственно по сравнению с таковыми для конформации твист. Поскольку все изученные реакции протекают через равновесные стадии, то это обстоятельство, скорее всего, является одной из причин повышенной фациальной селективности структуры с симметрией С<sub>5</sub>.

### ОСНОВНЫЕ РЕЗУЛЬТАТЫ И ВЫВОДЫ

- Фотоэлектронные спектры серии конформационно неоднородных 2-R-1,3-диоксациклогепт-5-енов характеризуются едиными потенциалами ионизации двойной связи и НЭП атомов кислорода форм кресло и твист. Наличие корреляции гамметовского типа в ряду семичленных ацеталей свидетельствует о связевом механизме трансляции индуктивных эффектов алкильных заместителей на донорные центры.
- Методом ИК-спектроскопии в рамках подхода Кагайя определены величины волновых чисел vod монодейтерометанола в комплексах с 2-замещенными семичленными ненасыщенными ацеталями. Электронодонорная способность ацеталей формальдегида уменьшается в следующем порядке: 1,3-диоксепан > 1,3-диоксациклогепт-5-ен > 1,3-диоксан > 1,3-диоксолан. Внутри ряда относительная основность определяется электронными, стерическими эффектами заместителей и пространственным строением гетероциклического фрагмента молекул.
- Эксплуатация принципа аддитивности электронных, стерических, сольватационных и конформационных эффектов в серии конформационно неоднородных соединений впервые позволила установить взаимосвязь пространственного строения 2-R-1,3-диоксациклогепт-5-енов с их реакционной способностью.
- 4. Установлена существенная роль среды в реакции электрофильного присоединения брома к модельным ацеталям. В диоксане конформеры твист и кресло реагируют с одинаковыми скоростями, в то время как в протонодонорном хлороформе константа скорости реакции последней формы почти в 30 раз выше.
- Впервые проведено сопоставительное изучение кинетических и термодинамических параметров реакций гидролиза серии конформационно неоднородных семичленных ацеталей и модельных конформационно жестких кресловидных 2-R-1,3-диоксанов. Для ряда шестичленных аце-

талей установлена корреляция свободных энергий активации прямой и обратной реакций со стерическими константами заместителей Тафта. В ряду семичленных аналогов скорость гидролиза определяется стерическими эффектами заместителей и стереохимическими особенностями кресловидной формы. Константы скорости обратных реакций конденсации 1,3-пропандиола и 1,4-цис-бутен-2-диола с альдегидами зависят только от нуклеофильной способности гликолей и стерических эффектов заместителей при карбонильной группе.

6. Проведено кинетическое и стереохимическое исследование реакции Карбони-Линдсея диметил-1,2,4,5-тетразин-3,6-дикарбоксилата с серией 2-R-1,3-диоксациклогепт-5-енов, приводящей к диастереомерным экзо- и эндо-4-R-8,11-диметоксикарбонил-3,5-диокса-9,10-диазабицикло-[5.4.0]додека-7,10-диенам. Определены относительные константы скорости реакций форм кресло, твист и селективность реакции в условиях кинетического контроля в 10 растворителях при различных температурах. Максимальная селективность достигается для трет.-бутилзамещенного производного, представленного в растворе преимущественно формой кресло. Впервые проведен анализ факторов, определяющих реакционную способность реагента при атаке на диастереотопные стороны субстратов с различной пространственной архитектурой.

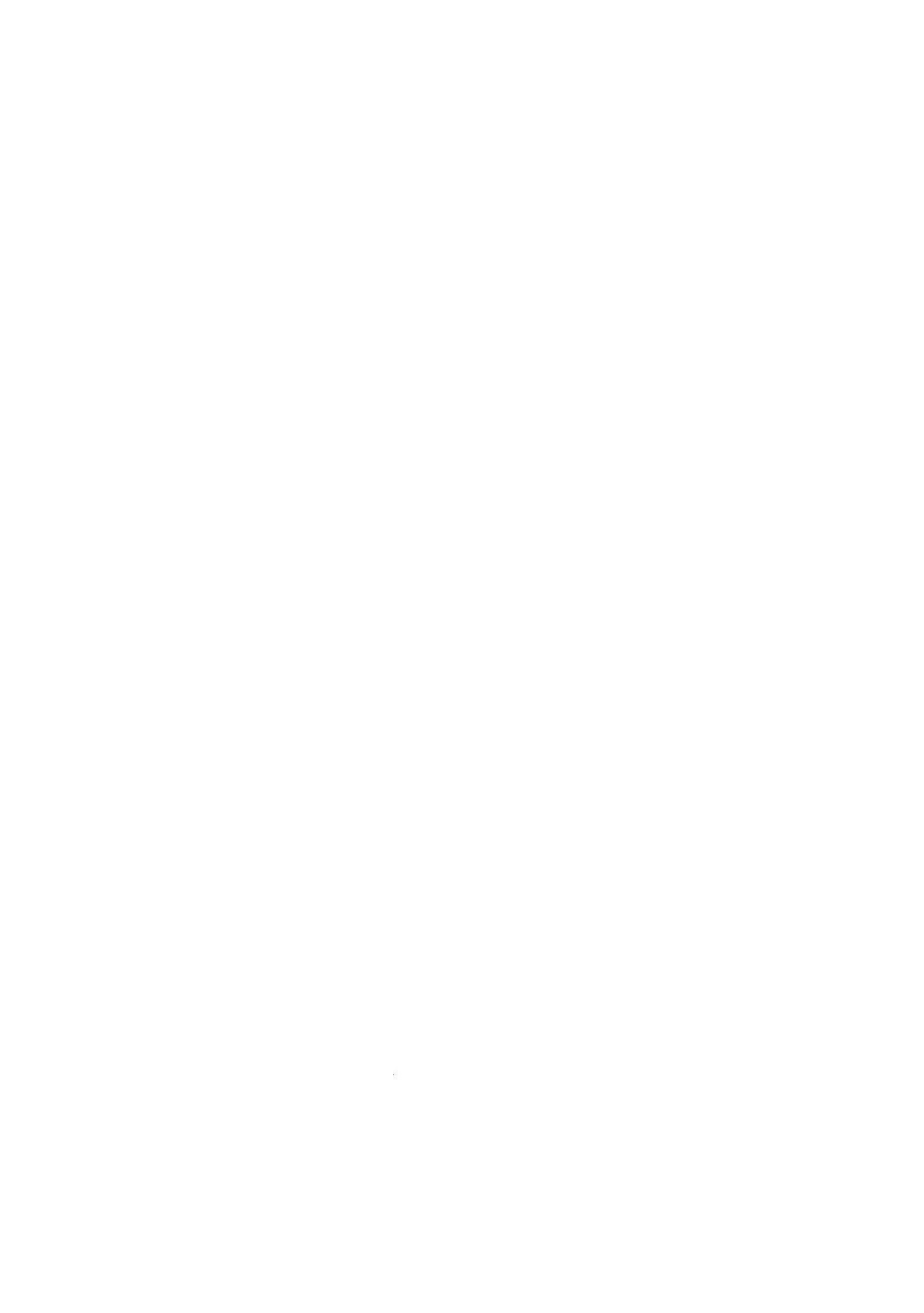
## Основное содержание диссертации изложено в следующих работах:

- Shaikhutdinova G.R., Fedorenko V.Yu., Vaphina R.M., Kashaeva E.A., Shtyrlin Yu.G., Klimovitskii E.N. The Solvent effect in Kinetics and Selectivity of Diels-Alder Reaction conformationally unhomogeneous 2-R-1,3-Dioxacyclohept-5-enes // Abstracts VII International conference on the problems of solvation and complex formation in solutions.-Ivanovo.-1998.-P.51.
- 2. Шайхутдинова Г.Р., Штырлин Ю.Г., Вафина Р.М., Климовицкий Е.Н. К проблеме реакционной способности конформеров. Кинетика и

- диастереоселективность реакции 3,6-дикарбометокситетразина с 2-R-1,3-диоксациклогепт-5-енами по данным ЯМР <sup>13</sup>С // Тез. поволжской региональной конференции «Физико-химические методы в координационной и аналитической химии».-Казань.-1999.-С.79-82.
- Климовицкий Е.Н., Штырлин Ю.Г., Федоренко В.Ю., Шайхутдинова Г.Р., Вафина Р.М., Барышников Р.Н. К проблеме реакционной способности конформеров в реакциях перекрестного типа // Тез. І-ой Всероссийской конференции по химии гетероциклов.-Суздаль.-2000.-С.212.
- Штырлин Ю.Г., Федоренко В.Ю., Кикило П.А., Шайхутдинова Г.Р., Петухов А.С., Климовицкий Е.Н. Конформационные равновесия семи-, восьмичленных гетероциклических соединений и эффекты среды // Тез. І-ой Всероссийской конференции по химии гетероциклов.-Суздаль.-2000.-С.424.
- Штырлин Ю.Г., Фишман А.И., Шайхутдинова Г.Р., Зверев В.В., Скворцов А.И., Климовицкий Е.Н. Стереохимия семичленных гетероциклов.
   XXXVIII. Эмпирические параметры электронодонорной способности конформеров // ЖОХ.-1998.-Т.68, N11.-C.1867-1871.
- Штырлин Ю.Г., Зверев В.В., Шайхутдинова Г.Р., Климовицкий Е.Н. К вопросу о применимости постулата Тафта при исследовании реакционной способности серии конформационно неоднородных семичленных ацеталей // ЖОХ.-1998.-Т.68, N12.-С.2061-2062.
- Климовицкий Е.Н., Штырлин Ю.Г., Шайхутдинова Г.Р., Вафина Р.М., Кашаева Е.А, Катаева О.Н, Литвинов И.А. Стереохимия семичленных гетероциклов. XL. Диастереоселективность реакции 3,6-диметоксикарбонилтетразина с 2-R-1,3-диоксациклогепт-5-енами // ЖОХ.-2000.-Т.70, N3.-C.842-846.
- Штырлин Ю.Г., Шайхутдинова Г.Р., Климовицкий Е.Н. Кинетика реакций конформеров. II. Роль среды в реакции электрофильного присоединения // ЖОХ.-2000. (рег. № 0054).

 Федоренко В.Ю., Зверев В.В., Штырлин Ю.Г., Шайхутдинова Г.Р., Климовицкий Е.Н. Стереохимия семичленных гетероциклов. XLII. Теоретическое исследование стереохимии Н-комплексов конформационно неоднородных 2-R-1,3-диоксациклогепт-5-енов с некоторыми протонодонорами // ЖОХ.-2000. (рег. № 0387).

most-



2-00

## Издательство «Экоцентр» Без объявл. – 2000 Лицензия № 0307 от 8.06.2000

Отпечатано с готового оригинал-макета. Печать RISO. Бумага офсет № 1. Формат 60\*84~1/16. Объем 1,2 п.л. Тираж 100 экз. Заказ // .

Отпечатано на полиграфическом участке издательства «Экоцентр», г. Казань, ул. К. Маркса, 70.